

# ЭКСПЕРИМЕНТАЛЬНОЕ ИССЛЕДОВАНИЕ ОПТИМАЛЬНЫХ ПАРАМЕТРОВ ОПТИЧЕСКОГО ГЕТЕРОДИННОГО СПЕКТРОМЕТРА

*C. B. Казаков и Н. И. Чернова*

Вопросы эффективности оптического гетеродинирования теоретически обсуждались во многих работах [1-4]. Однако экспериментальные особенности этого метода еще недостаточно ясны.

Рассмотрены два основных типа оптического смесителя рассеянного и опорного излучений при гетеродинном фотосмещении (рис. 1): с линзой, формирующей изображение рассеивающего объема на фотодетекторе, и без линзы (ход лучей показан штриховыми линиями).

Теоретически эти схемы эквивалентны и должны обеспечивать при прочих равных условиях одно и то же качество фотосмещения. Для обоих типов смесителя фотосмещение опорного лазерного излучения происходит с частью рассеянного излучения, в пределах которой световое поле

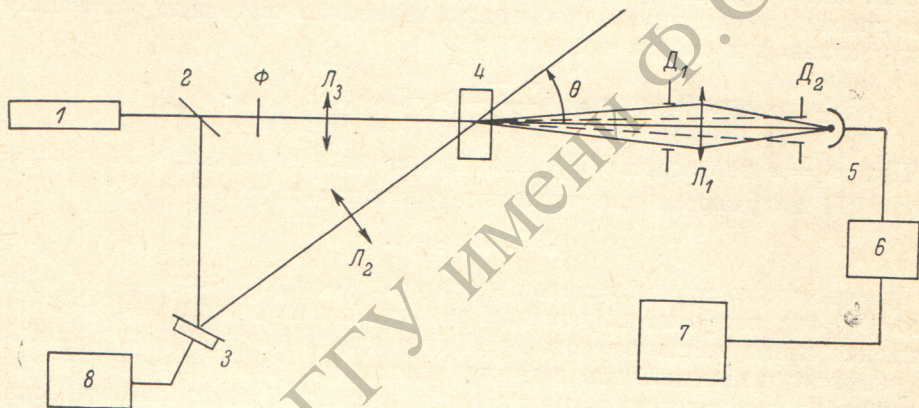


Рис. 1. Блок-схема гетеродинного спектрометра.

1 — лазер ЛГ-38; 2 — делительная пластина; 3 — фазовый модулятор (зеркало с диэлектрическим покрытием, посаженное на пьезокерамику); 4 — рассеивающая ячейка; 5 — фотодетектор ФЭУ-79; 6 — предусилитель У2-6; 7 — анализатор спектра С4-25; 8 — звуковой генератор ГЗ-33;  $\Phi$  — нейтральный светофильтр;  $L_1$ ,  $L_2$  — линза ( $f=10$  см), определяющая размер рассеивающего объема;  $L_3$  — линза ( $f=15$  см), согласующая кривизны волновых фронтов гетеродинного и рассеянного излучений.

когерентно. При этом эффективность фотобиений зависит от степени амплитудно-фазового согласования интерферирующих пучков.

Для безлинзовой системы радиус площади когерентности  $r_k$  на расстоянии  $R$  от рассеивающего объема определяется выражением [5]

$$r_k \approx \frac{0.16\lambda R}{a}, \quad (1)$$

где  $\lambda$  — длина волны излучения,  $a$  — линейный размер рассеивающего объема.

В системе с линзой область пространственной когерентности находится в плоскости изображения и радиус ее  $r'_k$  может быть вычислен по формуле [5]

$$r'_k \approx \frac{0.16\lambda R'f}{b(R' - f)}, \quad (2)$$

где  $R'$  — расстояние от рассеивающего объема до линзы,  $b$  — радиус апертурной диафрагмы  $D_1$ ,  $f$  — фокусное расстояние линзы  $L_1$  ( $f=0.5$  м).

На рис. 2 представлены экспериментальные зависимости величины

$$\beta = \frac{C/\text{III}}{(C/\text{III})_{\max}}$$

от параметров  $x=r_0/r_k$  и  $x=r_0/r'_k$  для первого и второго типов фотосмесителя соответственно. Здесь  $r_0$  — радиус полевой диафрагмы  $D_2$ , ограничивающей размеры чувствительной площади фотодетектора,  $(C/III)_{\max}$  — максимальное отношение сигнал—шум, полученное для данного типа смесителя.

Из графика видно, что зависимость  $\beta(x)$  в хорошем согласии с предсказаниями теоретической работы [4] является монотонно возрастающей функцией  $x$ . При значениях  $x \approx 1$  и  $x \approx 4$  экспериментальные кривые практически достигают насыщения и дальнейшее увеличение  $r_0$  не приводит к заметному увеличению  $\beta$ . Для смесителя с линзой при  $x > 4$  наблюдается большой разброс  $\beta$ , что свидетельствует о сильном шумовом

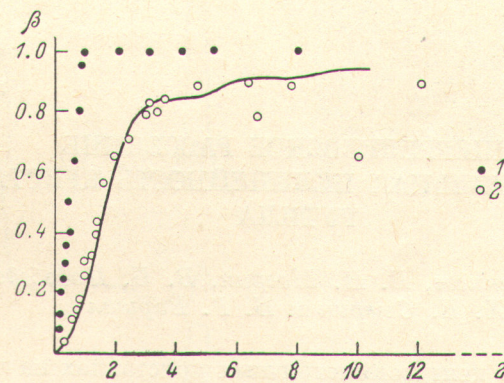


Рис. 2.

1 — для оптического смесителя без линзы, 2 — для оптического смесителя с линзой. Сплошной линией указана теоретическая кривая из работы [4].

влиянии гетеродинного и сигнального лучей за пределами дифракционного пятна линзы  $L_1$ .

Из полученных результатов следует, что для каждого из рассмотренных типов смесителя имеется эффективная площадь когерентности (ЭПК), на которой оптимальным образом происходит фотосмещение опорного и сигнального лучей. Для безлинзовой системы ЭПК совпадает с ранее определенным значением площади когерентности по формуле (1),  $x=1$ . Для смесителя с линзой ЭПК соответствует площади диска Эйри в дифракционной картине линзы  $L_1$ . В этом случае радиус ЭПК превосходит  $r'_k$  из выражения (2) в 3.83 раза.

Отсюда можно заключить, что смеситель с линзой имеет весьма существенное преимущество перед смесителем без линзы. Для реализации этого преимущества в смесителе с линзой размеры диафрагмы  $D_1$  подбираются так, чтобы

$$b_k = 3.83r_k, \quad (3)$$

где  $r_k$  и  $b_k$  вычисляются по формулам (1) и (2) соответственно для  $R=R'$ . При выполнении условия (3) изображение рассеивающего объема освещено когерентно, так как оно находится в пределах диска Эйри. При этом телесный угол сбора рассеянного излучения, определяющий мощность излучения, собираемую на одну площадь когерентности [1, 3], увеличивается более чем на порядок.

Экспериментальные результаты подтверждают вышеизложенное: при измерении спектра рассеяния в водной суспензии полистиролового латекса (диаметр шаров 0.8 нм, угол рассеяния 30°) получено, что для безлинзовой системы  $(C/III)_{\max}=20$ , а для системы с линзой при рекомендованном подборе размеров апертурной и полевой диафрагм  $(C/III)_{\max}=80$ .

## Литература

- [1] Г. Бенедек. Усп. физ. наук, 106, 481, 1972.
- [2] Н. Ш. Хайкин, Б. В. Юрист. Радиотехн. и электрон., 17, 103, 1972.
- [3] В. М. Рысаков, М. М. Федорова. Опт. и спектр., 44, 520, 1978.
- [4] D. Fink. Appl. Opt., 14, 689, 1975.
- [5] М. Борн, Э. Вольф. Основы оптики. «Наука», М., 1972.

Поступило в Редакцию 10 июля 1979 г.

УДК 535.36 : 548.0

## ГИПЕРРЕЛЕЕВСКОЕ РАССЕЯНИЕ И КВАДРУПОЛЬНАЯ НЕЛИНЕЙНОСТЬ КРИСТАЛЛА РУТИЛА

В. Н. Денисов, Б. Н. Маврин, В. Б. Подобедов,  
Х. Е. Стерин и Б. Г. Варшал

Рассеяние света в центросимметричных кристаллах на частоте второй гармоники может быть обусловлено различными причинами: а) квадрупольным рассеянием, интенсивность которого зависит не только от величины поля  $E^\omega$  возбуждающей волны, но и от его градиента; если  $E^\omega$  — плоская волна, то нелинейный источник тока квадрупольного гиперрелевского рассеяния (ГРР) равен [1]

$$J_j(2\omega) = -4\omega \chi_{jmnl} K_m E_n^\omega E_l^\omega, \quad (1)$$

где  $\chi_{jmnl}$  — компоненты тензора квадрупольной нелинейности,  $K_m$  —  $m$ -я компонента волнового вектора  $\mathbf{K}$  волны  $E^\omega$ ; б) деформациями и напряжениями в кристалле, приводящими к возникновению внутреннего поля  $E^0$  и нелинейной поляризации  $\mathbf{P}$  [ $P_i(2\omega) = \chi_{ijkl} E_j^\omega E_k^\omega E_l^0$ ]; в) поверхностными явлениями; г) неупорядоченностью кристаллической структуры (аморфностью); д) понижением симметрии кристалла под действием интенсивной волны  $E^\omega$ . Интенсивность ГРР типов а), б) и д) может сильно возрасти при распространении возбуждающего луча в направлении фазового синхронизма (ФС). Ввиду слабой интенсивности ГРР, его исследование проводилось только вблизи ФС [2-4]. При ФС возбуждающий луч направлен под некоторым углом  $\theta_0$  к оптической оси кристалла и интенсивность ГРР определяется алгебраической суммой компонент тензора  $\chi_{jmnl}$ .

В настоящей работе ГРР исследовалось как при ФС, так и под углами рассеяния  $\phi=0$  и  $90^\circ$  к  $\mathbf{K}$ . Исследование света при  $\phi=90^\circ$  интересно тем, что в отличие от ФС вклад в интенсивность ГРР может вносить лишь одна из компонент тензора  $\chi_{jmnl}$ . Но нам кажется более важным, что в данном случае можно по поляризационным измерениям ГРР надежно установить причину его возникновения. Мы впервые провели поляризационные измерения спектров рассеяния центросимметричного кристалла в области частот второй гармоники. В этой области наблюдаются и линии ГРР, и линии гиперкомбинационного рассеяния (ГКР).

Мы исследовали центросимметричный кристалл  $TiO_2$  (рутин), имеющий симметрию  $D_{4h}$ . Спектры получены с помощью методики, описанной ранее [5]. Пиковая мощность возбуждающих импульсов не превышала 12 кВт. Размеры образца  $\sim 15$  мм были достаточны, чтобы полностью исключить поверхностные явления.